



$$\eta_{K_0}^* = \frac{-A + \sqrt{A^2 + 4M^2}}{2} \quad \text{ただし、 } A = \frac{3}{2}c \left(1 - \frac{\kappa^*}{\lambda^*}\right) \quad (11)$$

を得る。

さらに、 $\eta_{K_0}^*$  と  $\eta_{K_0}$  の間には  $\eta_{K_0} = \left(1 + \frac{p_r}{p}\right)\eta_{K_0}^*$  の関係があるから、これを  $K_0 = \frac{3 - \eta_{K_0}}{2\eta_{K_0} + 3}$  に代入すると、最終的に  $K_0$  値として

$$K_0 = \frac{3 - \left(1 + \frac{p_r}{p}\right)\eta_{K_0}^*}{2\left(1 + \frac{p_r}{p}\right)\eta_{K_0}^* + 3} \quad (12)$$

を得る。この  $K_0$  算定式は、右辺に平均有効応力  $p$  と固結力の効果  $p_r$  を含む形となり、対象とする土に作用する応力レベルと固結力の程度によって  $K_0$  値が変化することを意味している。図2には、 $p_r$  と  $p$  による  $K_0$  値の変化を示している。この図より、固結力  $p_r$  が大きくなるほど  $K_0$  値が小さくなり、 $p$  が大きくなるほど  $K_0$  値は大きくなることが分かる。

さらに、図3には  $K_0$  値における限界応力比  $M$  と固結力  $p_r$  の関係を示している。この図を見ても分かるように、 $K_0$  値は限界応力比  $M$  によって一義的に定まらず、 $p_r$  と  $p$  の大きさによって変化することが分かる。また、圧密が進行するにつれ ( $p_r$  が一定で  $p$  が大きくなる)  $K_0$  値が増加していくことも示している。

### 3. 実験による検証

詳しい供試体の作成方法や実験方法については、参考文献3)を参照されたい。図4に実験から求めた  $K_0$  値と  $p$  の関係を示している。図中には上記の  $K_0$  算定式により予測した  $K_0$  値も示している。固結力を持つ粘土の  $K_0$  値が固結力を持たない粘土のものよりも小さくなっていること、圧密が進むに従ってそれらの値は漸近するような傾向にある。予測値は実測値の傾向をかなり良好に表わしていると判断できる。

### 4.まとめ

1) 固結力を考慮した  $K_0$  算定式を提案した。2) 固結力を持つ粘土の  $K_0$  値は、固結力を持たない粘土の  $K_0$  値よりも小さくなるものの、圧密圧力大きくなるにつれて  $K_0$  値は固結力を持たない粘土の  $K_0$  値に近づく。3) 固結効果を表すパラメーターを導入した構成式による  $K_0$  値の予測の結果は、実際のものによく似た傾向を示す。

#### 【参考文献】

- 富永ら (1996) :限界状態に着目した人工固結粘土の非排水せん断特性、「第51回年次学術講演会講演概要集」,III-A73,pp.146-147.
- Yasufuku,N. et.al., The dissipated energy equation of lightly cemented clay in relation to the critical state model, 「9th IACMAG'97」,(投稿中)
- 笠間ら (1997) :人工固結粘土の  $K_0$  におけるセメント混入率の影響、「土木学会西部支部研究発表講演概要集」, pp.470-471.

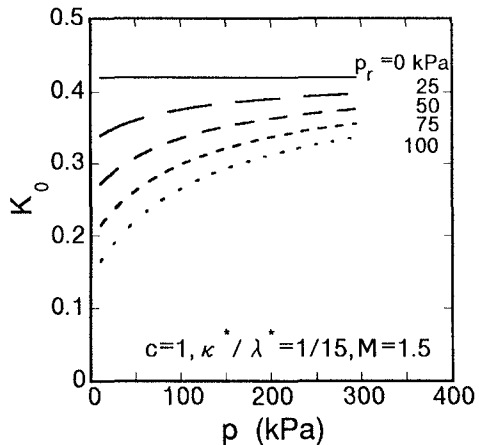


図2 平均有効応力  $p$  による  $K_0$  値の変化

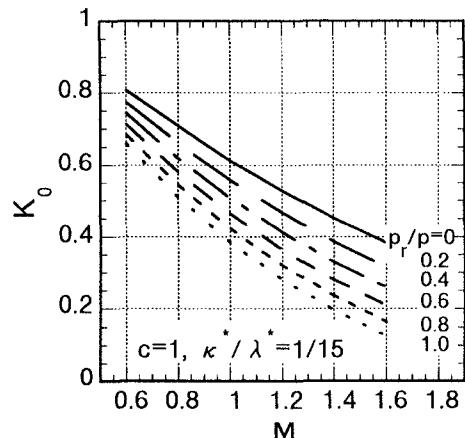


図3 限界応力比  $M$  による  $K_0$  値の変化

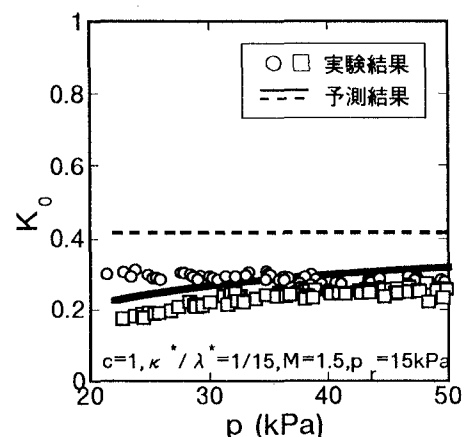


図4 実験結果との比較